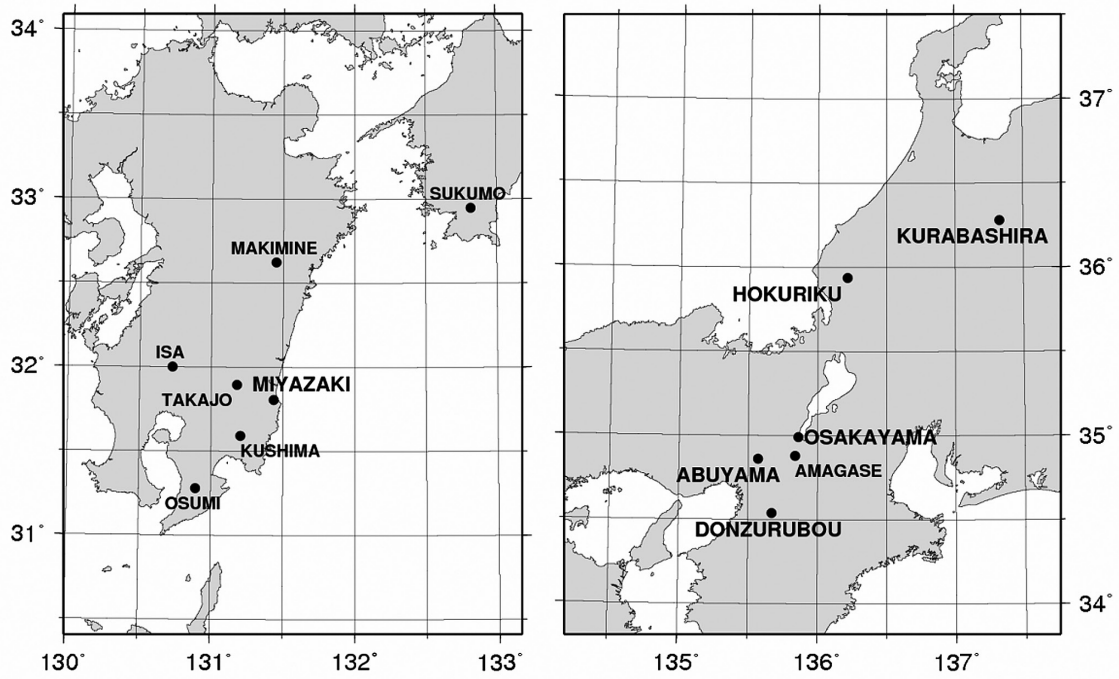


8 - 2 地殻活動総合観測線最近1年／近畿の10年の観測結果

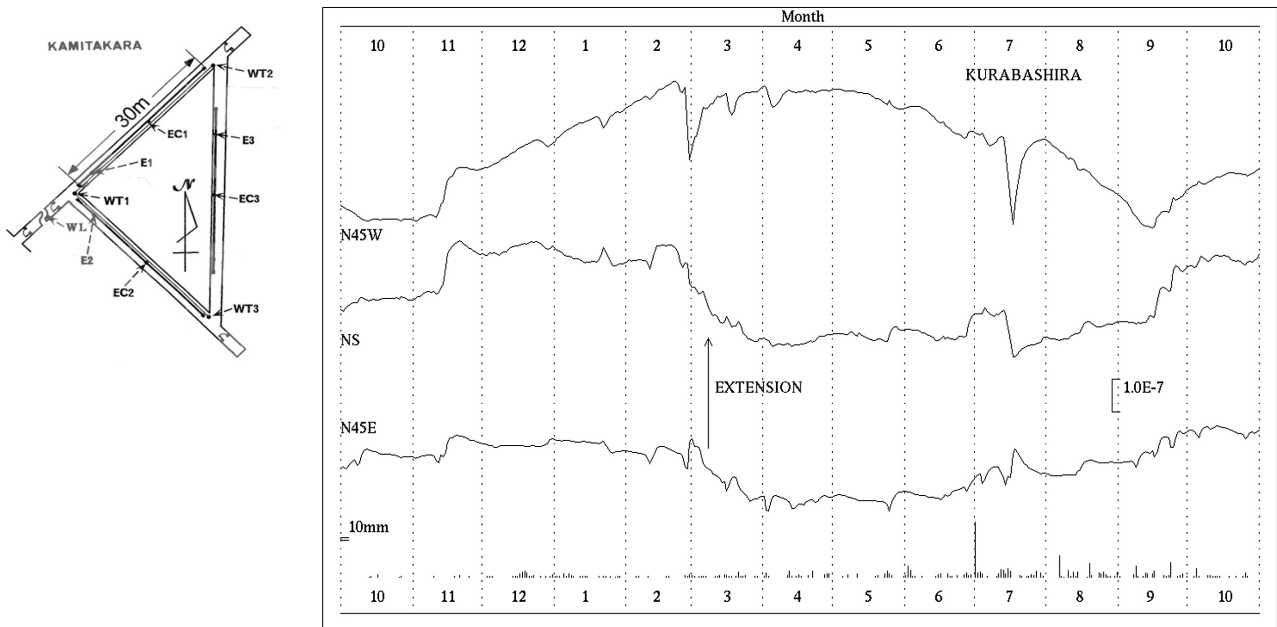
Continuous Observation of Crustal Deformations at Observation Networks in Central Kinki and Southeast Kyushu District.

京都大学防災研究所附属地震予知研究センター
Reserch Center for Earthquake Prediction,
Disaster Prevention Research Institute, Kyoto University

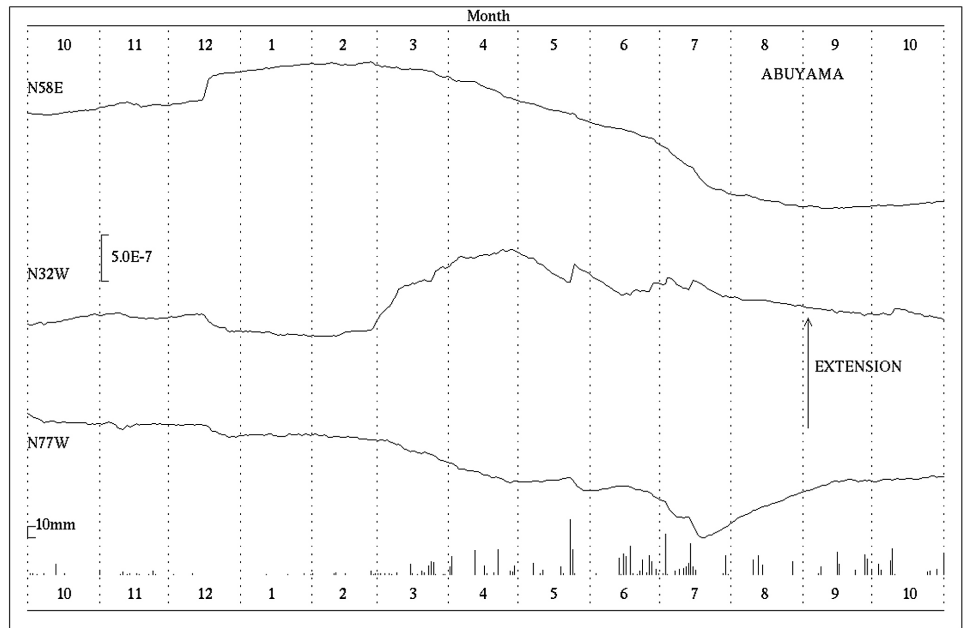
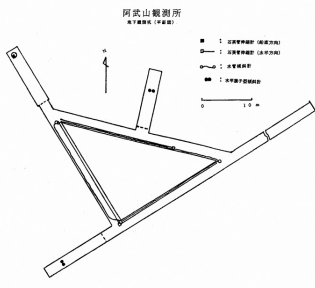
近畿・北陸地方および日向灘地殻活動総合観測線の主要点の坑道内歪観測結果の最近1年分を示す。長期的な2003年以降のトレンド変化も継続しており、近畿主要点については、1999年以来現在までの記録も併せて示す。日向灘観測線のうち、降雨による擾乱が長期に及ぶ宮崎、伊佐観測点の歪記録において各成分共、降雨の影響を受ける伸縮方向のレートが例年の同時期よりやや高くなっている。宮崎では特に6月の雨量が多くなっているが、2月終わりから期間を通して一定した降雨があり、伊佐では6、7月の豪雨(2,600mm)による影響が大きく現れている。他の観測点については、各観測点特有の降雨や温度によると思われる擾乱意外では異常な地殻変動は見られない。



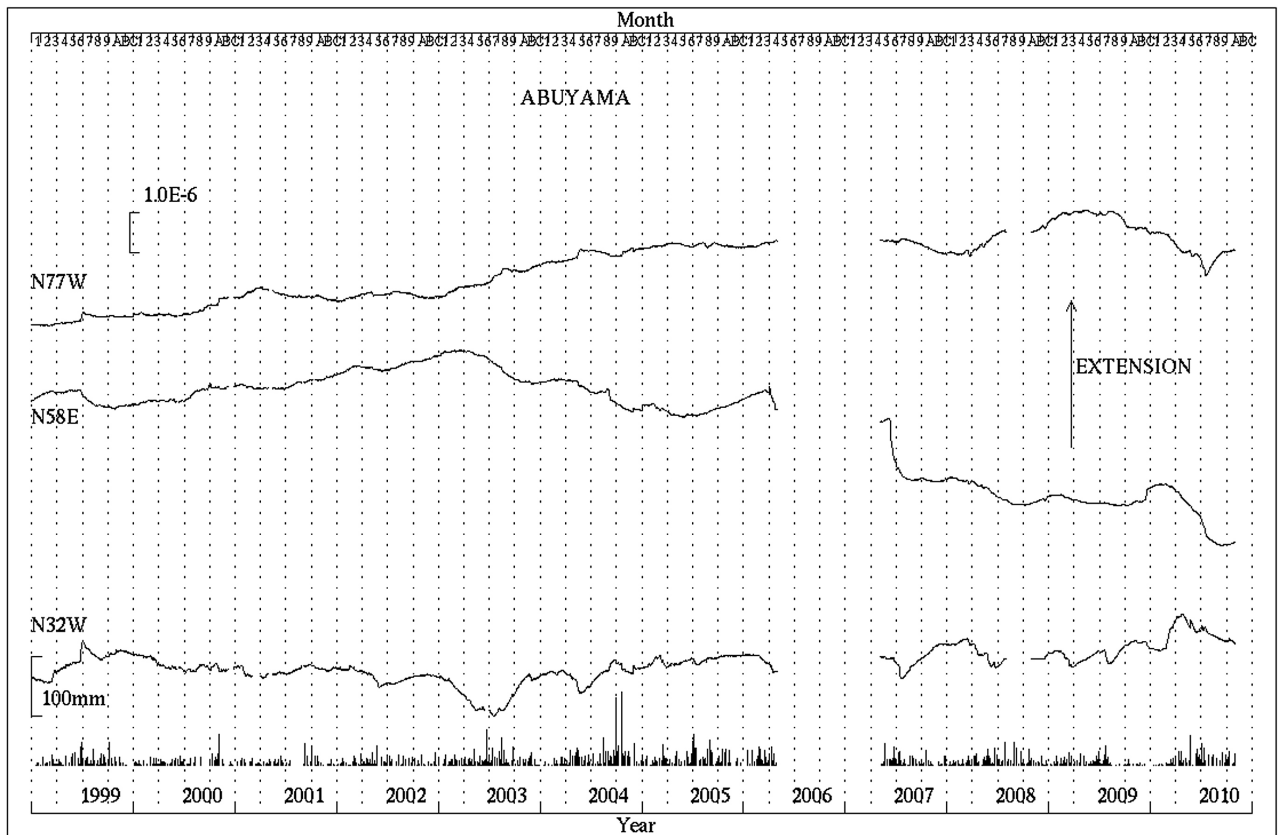
第1図 観測点配置
Fig. 1 Location map of observatories.



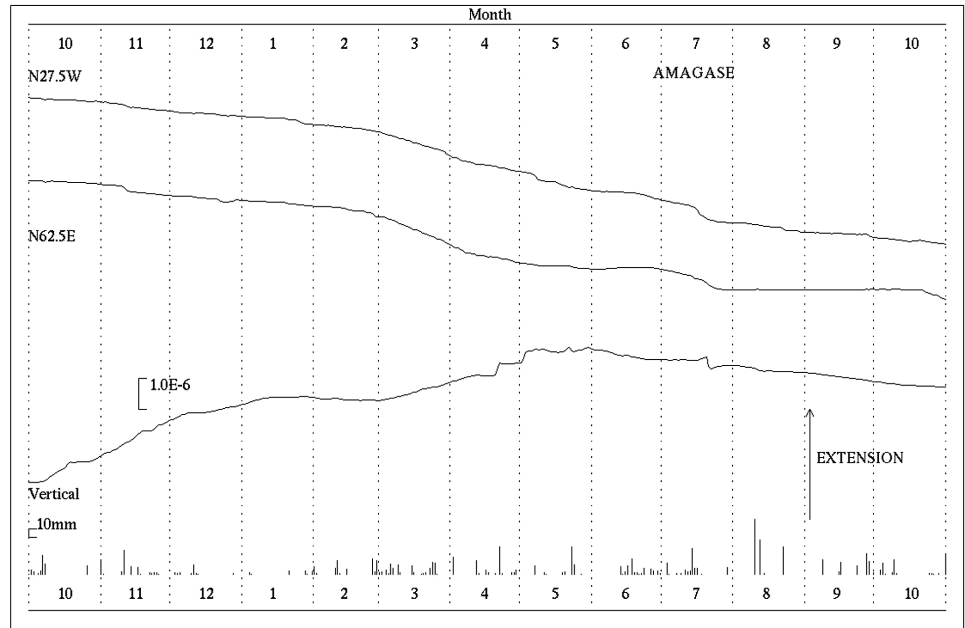
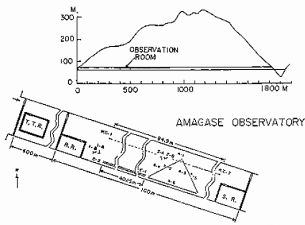
第2図 上宝観測所蔵柱観測室における歪変化と日雨量（2009年10月～2010年10月）
Fig. 2 Strain changes and daily precipitation at Kurabashira observatory.
(Oct.01,2009 ~ Oct.31,2010).



第3図 a 阿武山観測所における歪変化と日雨量 (2009年10月～2010年10月)
 Fig. 3a Strain changes and daily precipitation at Abuyama observatory.
 (Oct.01,2009 ~ Oct.31,2010).

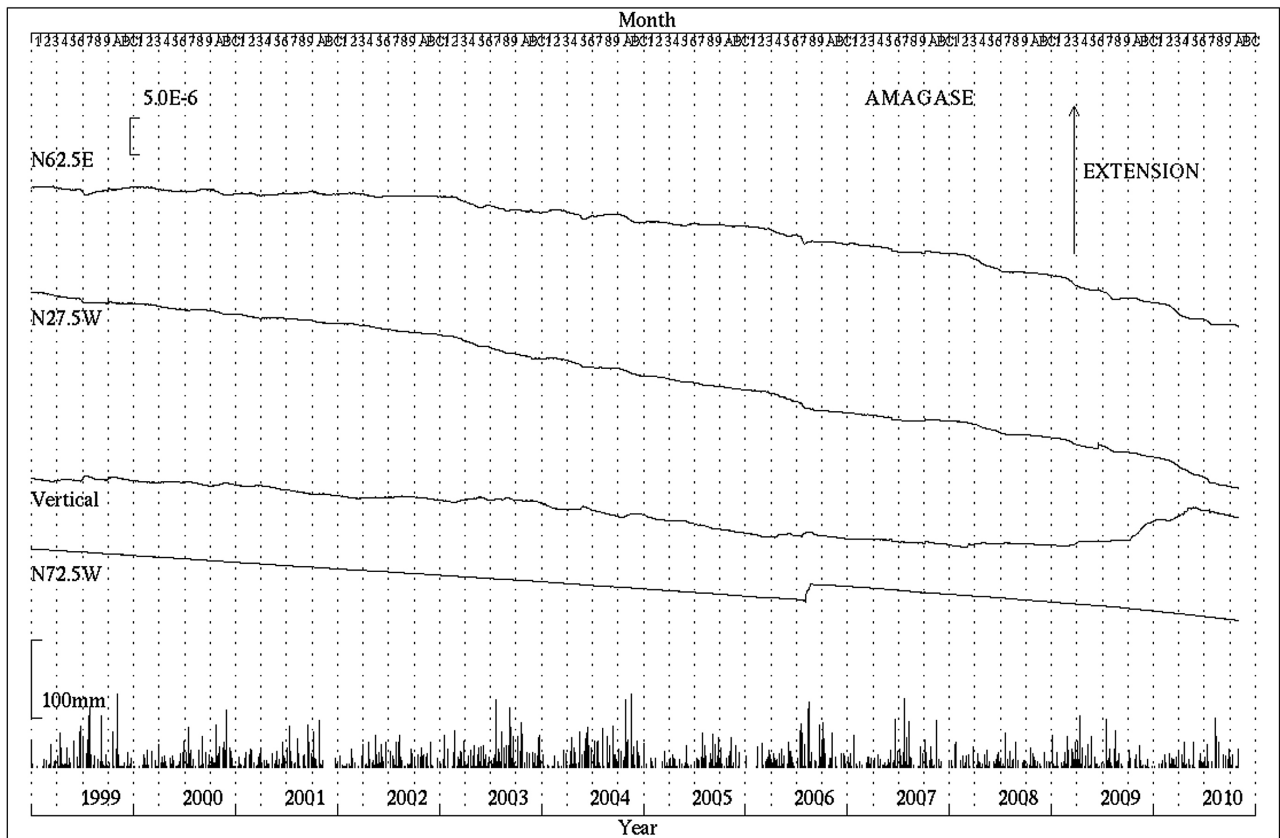


第3図 b 阿武山観測所における歪変化と日雨量 (1999年1月～2010年10月)
 Fig. 3b Strain changes and daily precipitation at Abuyama observatory.
 (Jan. 1,1999 ~ Oct.31,2010).



第4図 a 天ヶ瀬観測所における歪変化と日雨量 (2009年10月～2010年10月)
鉛直成分の10月から1月に掛けての変動は計測器の障害によるもの。

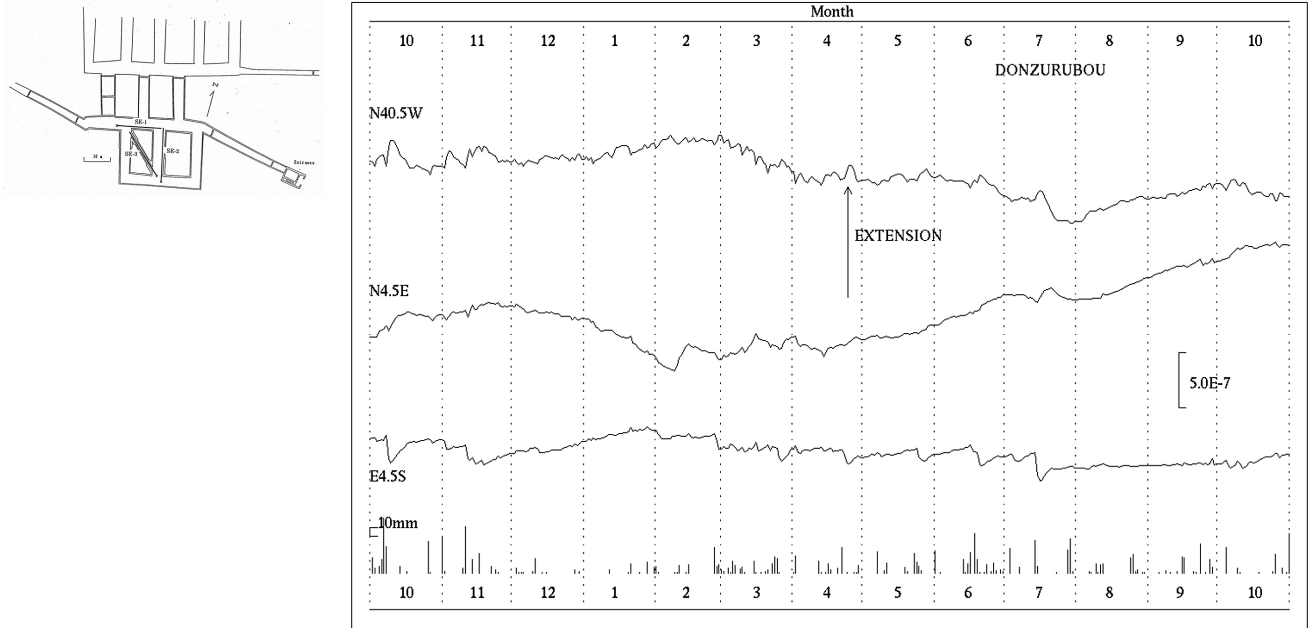
Fig. 4a Strain changes and daily precipitation at Amagase observatory. (Oct.01,2009 ~ Oct.31,2010).
An apparatus failure caused the anomalous signal change in the vertical component from Oct. to Jan.



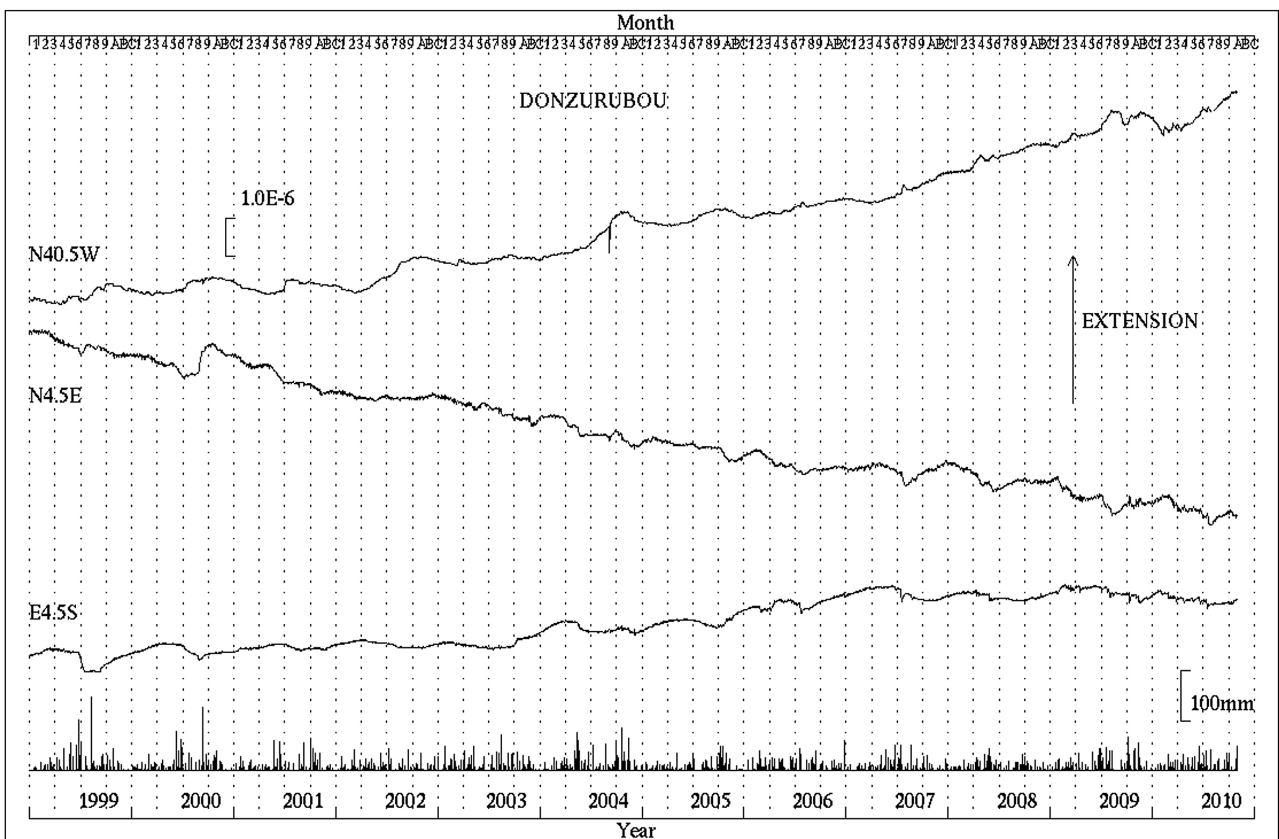
第4図 b 天ヶ瀬観測所における歪変化と日雨量 (1999年1月～2010年10月)

鉛直成分の2009年10月から2010年1月に掛けての変動は計測器の障害によるもの。

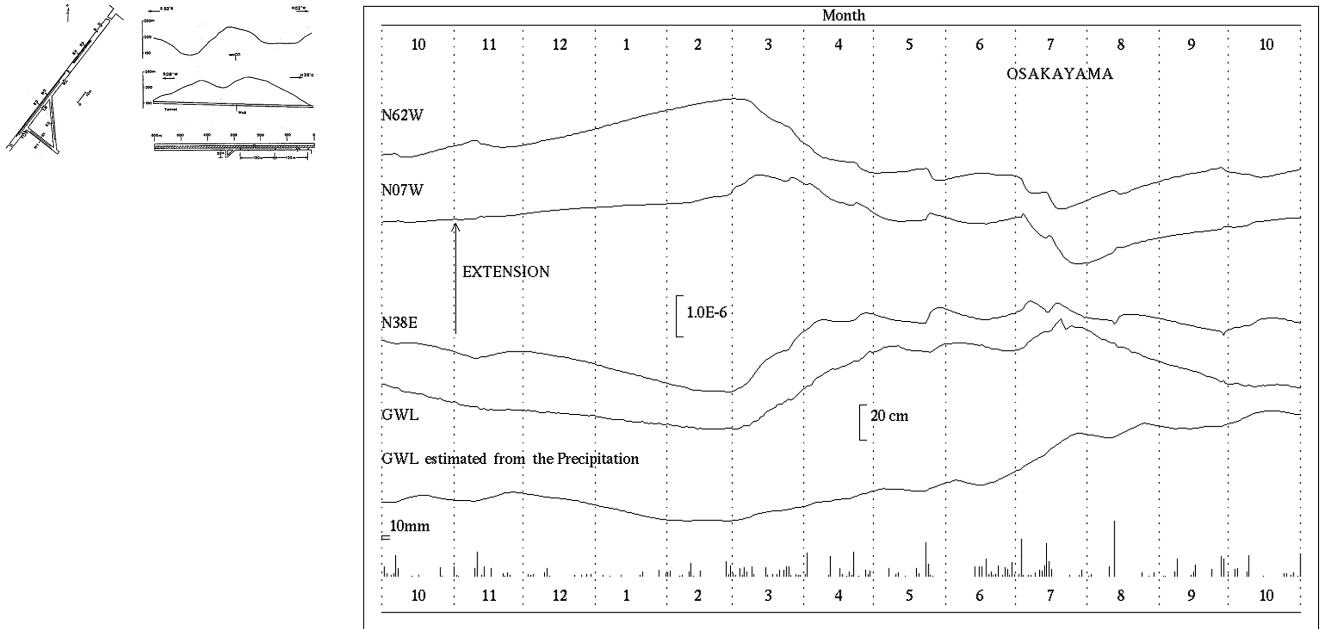
Fig. 4b Strain changes and daily precipitation at Amagase observatory.(Jan. 1,1999 ~ Oct.31,2010).
An apparatus failure caused the anomalous signal change in the vertical component extending from the end of 2009 to 2010.



第5図 a 屯鶴峯観測所における歪変化と日雨量 (2009年10月～2010年10月)
 Fig. 5a Strain changes and daily precipitation at Donzurubo observatory.
 (Oct.01,2009 ~ Oct.31,2010).

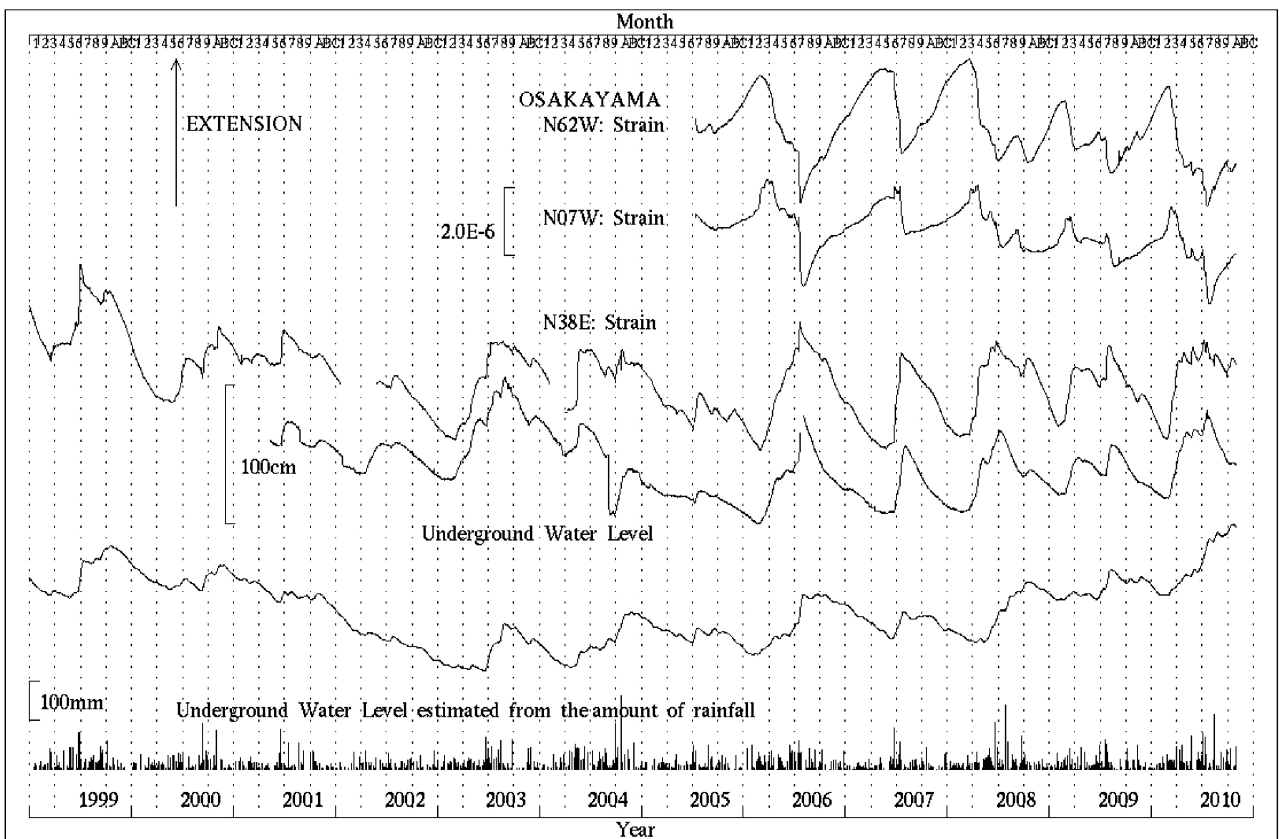


第5図 b 屯鶴峯観測所における歪変化と日雨量 (1999年1月～2010年10月)
 Fig. 5b Strain changes and daily precipitation at Donzurubo observatory.
 (Jan. 1,1999 ~ Oct.31,2010).



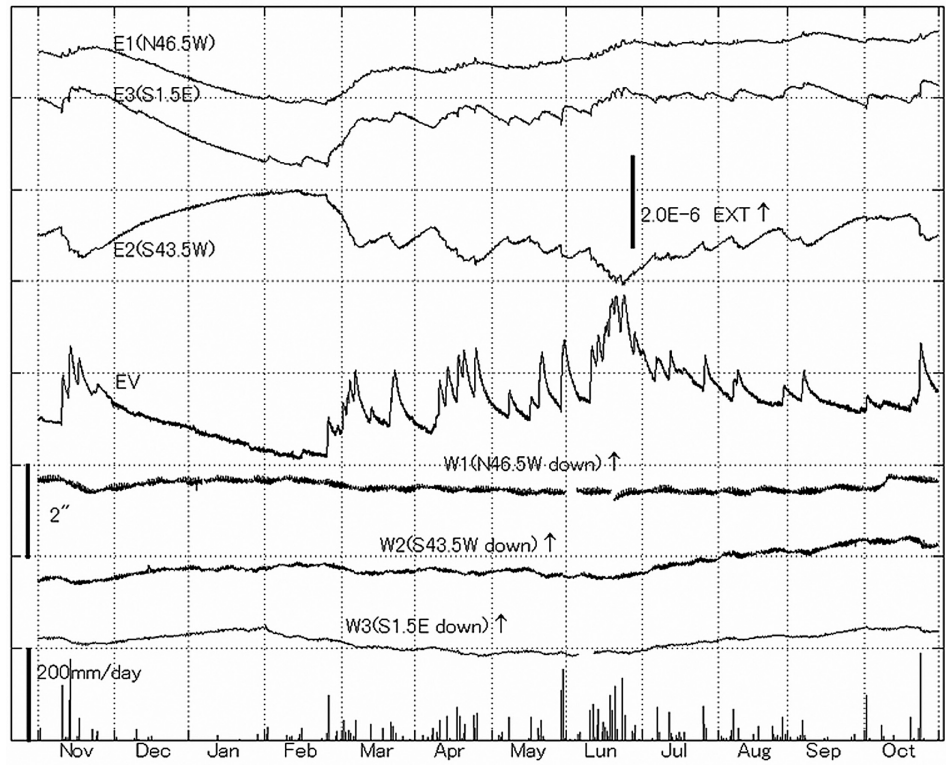
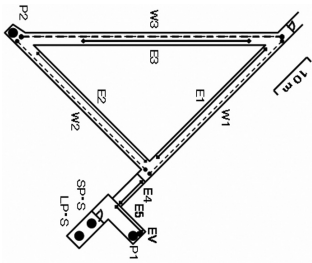
第6図 a 逢坂山観測所における歪変化と日雨量 (2009年10月～2010年10月)

Fig. 6a Strain change, underground water level and daily precipitation at Osakayama observatory. (Oct.01,2009 ~ Oct.31,2010).

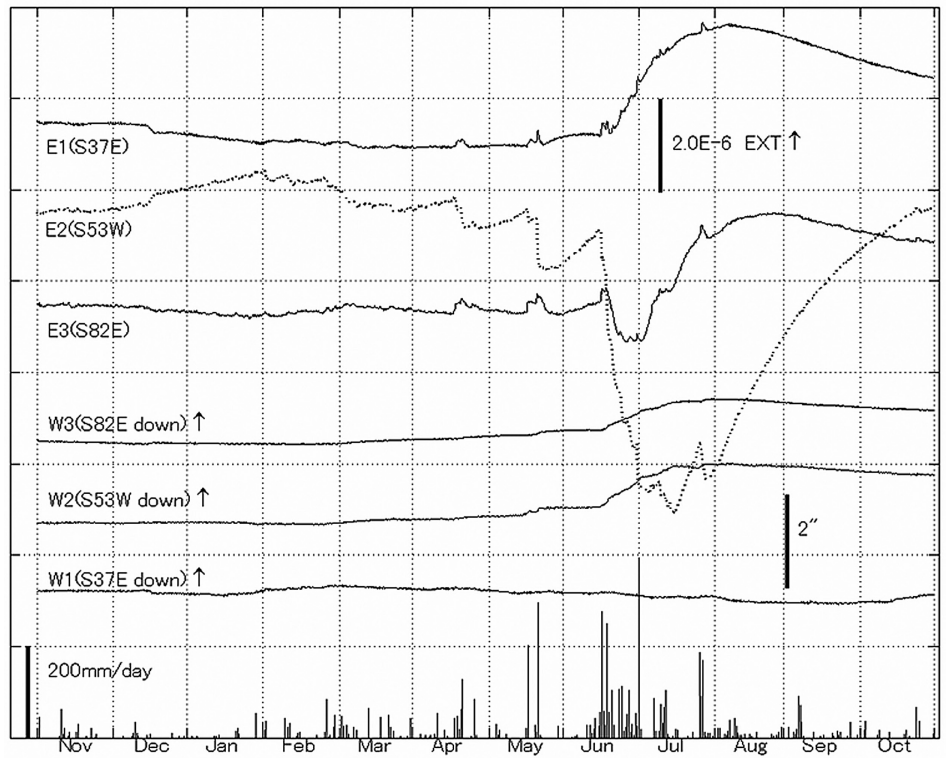
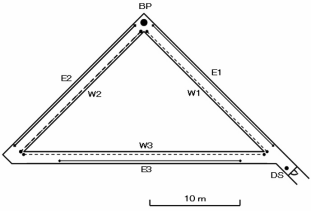


第6図 b 逢坂山観測所における歪変化と日雨量 (1999年1月～2010年10月)

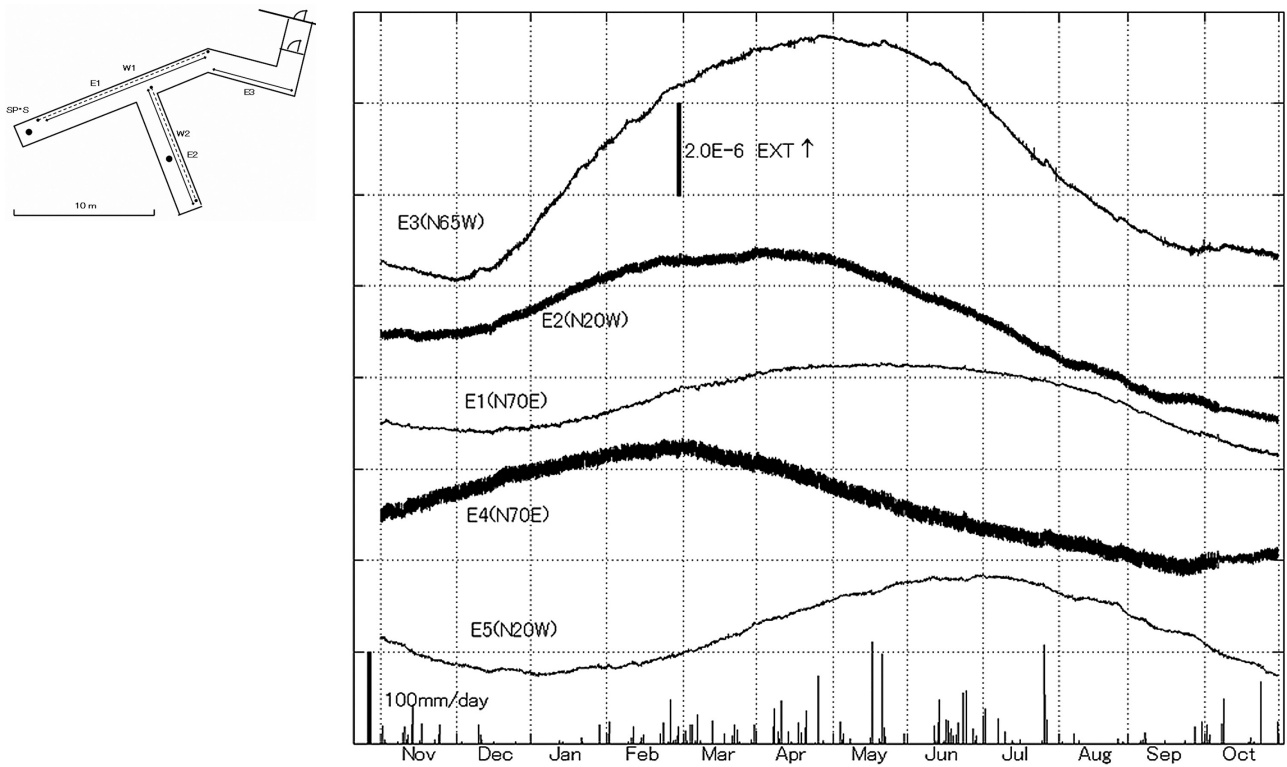
Fig. 6b Strain change, underground water level, daily precipitation and estimated underground water level from precipitation at Osakayama observatory. (Jan. 1,1999 ~ Oct.31,2010).



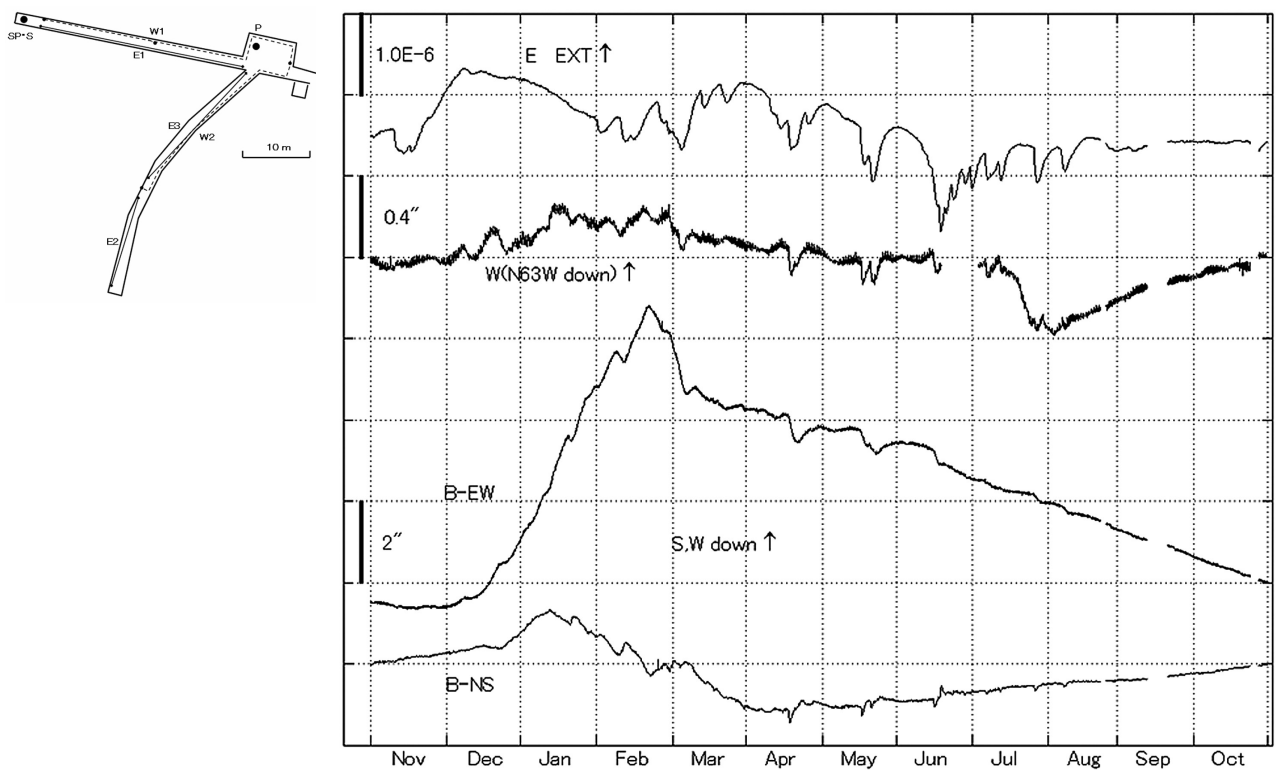
第7図 宮崎観測所における歪・傾斜変化と日雨量 (2009年11月～2010年10月)
 Fig. 7 Strain changes, tilt changes and daily precipitation at Miyazaki observatory.
 (Nov. 1, 2009 ~ Oct. 31, 2010).



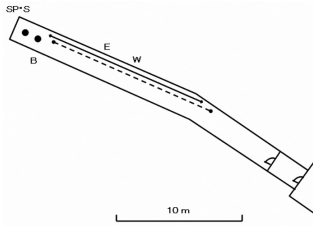
第8図 伊佐観測所における歪・傾斜変化と日雨量 (2009年11月～2010年10月)
 Fig. 8 Strain changes, tilt changes and daily precipitation at Isa station.
 (Nov. 1, 2009 ~ Oct. 31, 2010).



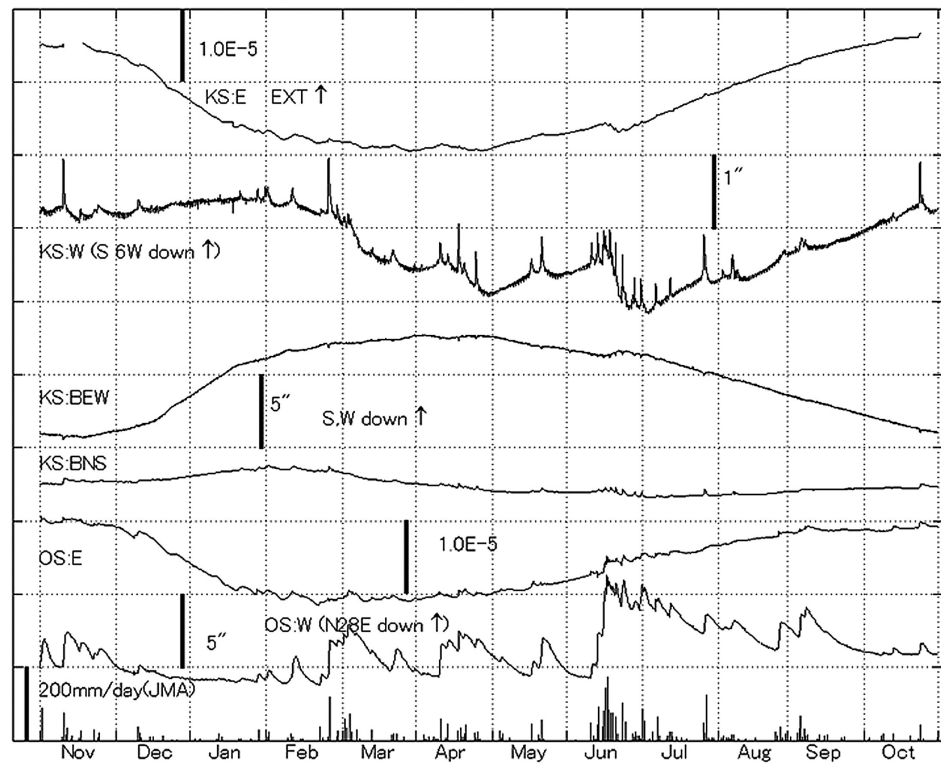
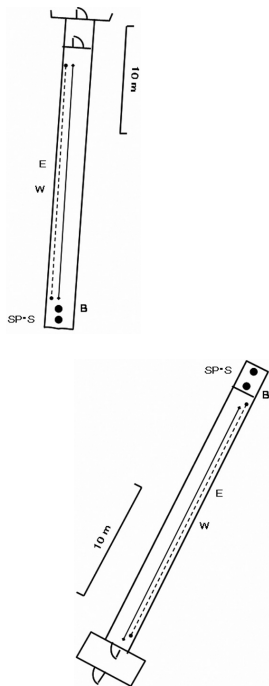
第9図 宿毛観測所における歪変化と日雨量（2009年11月～2010年10月）
 Fig. 9 Strain changes, tilt changes and daily precipitation at Sukumo station.
 (Nov. 1, 2009 ~ Oct. 31, 2010).



第10図 槇峰観測所における歪・傾斜変化と日雨量（2009年11月～2010年10月）
 Fig. 10 Strain changes, tilt changes and daily precipitation at Makimine station.
 (Nov. 1, 2009 ~ Oct. 31, 2010).



第 11 図 高城観測所における歪変化と傾斜変化 (2009 年 11 月～2010 年 10 月)
 Fig. 11 Strain changes and tilt changes at Takajo station.
 (Nov. 1, 2009 ~ Oct. 31, 2010).



第 12 図 串間・大隈観測所における歪・傾斜変化 (2009 年 11 月～2010 年 10 月)

Fig. 12 Strain changes and tilt changes at Kushima, and Ohsumi station.

Lowest bar graph is daily precipitation at Tashiro, nearest station by JMA. (Nov. 1, 2009 ~ Oct. 31, 2010).